

Fig. 437. Konstruktion der Ausbreitung des Lichtes nach dem Prinzip von Huygens. Isotroper Körper.

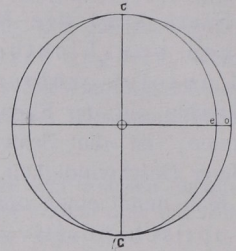


Fig. 438. Strahlengeschwindigkeitsfläche. Optisch einachsig positiver Kristall.

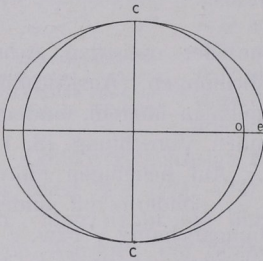


Fig. 439. Strahlengeschwindigkeitsfläche. Optisch einachsig negativer Kristall.

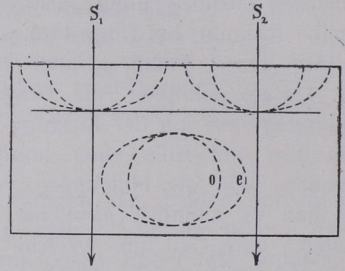


Fig. 440. Konstruktion der Lichtbewegung in Kalkspat. Lichtstrahlen parallel zur optischen Achse einfallend.

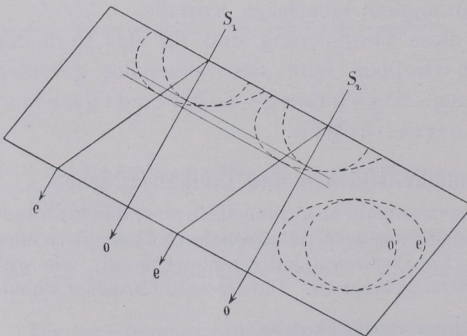


Fig. 441. Konstruktion der Lichtbewegung in Kalkspat. Lichtstrahlen schräg zur optischen Achse (senkrecht auf  $\{10\bar{1}1\}$ ) einfallend.

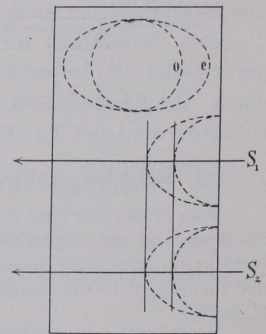


Fig. 442. Konstruktion der Lichtbewegung in Kalkspat. Lichtstrahlen senkrecht zur optischen Achse einfallend.